

SUSZENIE ZRĘBKÓW DRZEWNYCH W SUSZARCE FONTANOWEJ Z CYKLICZNYM MIESZANIEM ZŁOŻA

Stanisław Peroń, Mariusz Surma, Zbigniew Zdrojewski
Instytut Inżynierii Rolniczej, Uniwersytet Przyrodniczy we Wrocławiu

Streszczenie. Badano wpływ temperatury powietrza na proces suszenia zrębów drzewnych. Zrębki suszono w laboratoryjnej suszarce fontannowej. Doświadczenie prowadzono przy temperaturze 40, 50, 60, 70°C, przy stałej wysokości złoża ok. 160 mm i stałej prędkości czynnika suszącego $0,3 \text{ m}\cdot\text{s}^{-1}$. Określono szybkość suszenia oraz wartość strumienia wilgoci z jednostki objętości komory suszenia. Wyniki przedstawiono w postaci wykresów oraz równań korelacyjnych.

Slowa kluczowe: zrębki drzewne, suszenie, suszarka fontanna

Wykaz oznaczeń

- A – stała równania [-],
B – współczynnik szybkości suszenia [1 min^{-1}],
u – zawartość wody w surowcu [kg kg^{-1}],
t – temperatura czynnika suszącego [°C],
v – prędkość czynnika suszącego [m s^{-1}],
 q_v – średni strumień wilgoci z 1 m^3 pojemności komory suszenia [$\text{kg m}^{-3}\text{ h}^{-1}$]
 τ – czas [min].

Wstęp i cel pracy

Zrębki są rozdrobnionym drewnem o grubości ok. 1 cm i długości 2-5 cm. Wilgotność świeżych zrębów waha się w granicach 50-60% i powinny być one suszone [Rybak 2006] ze względu na:

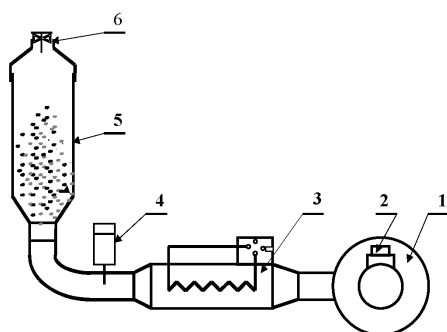
- możliwość ich pleśnienia i emisję szkodliwych dla zdrowia zarodników,
- podwyższenie kaloryczności i sprawności termicznej spalania,
- wymogi technologiczne (np. dla palenisk o małych mocach wilgotność zrębów nie powinna przekraczać 30%).

Jak wynika z doniesień praktyków od szeregu lat istnieją próby zastosowania suszarek kanałowych, silosów a nawet suszarek komorowo-daszkowych do suszenia zrębów [Pringle, Pan 1996]. Jedną z prostszych suszarek którą można by ewentualnie zastosować do tego celu jest suszarka fontanna umożliwiająca prowadzenie procesu suszenia w złożu wrzącym (fontannowym), w złożu statycznym bądź w złożu nieruchomym cyklicznie mieszanym strumieniem powietrza.

Celem pracy było zbadanie dynamiki wysychania zrębków topoli w laboratoryjnej suszarce fontannowej (w warunkach stałego złożą z cyklicznym jego mieszaniem) w zależności od temperatury suszenia.

Stanowisko pomiarowe i metodyka badań

Rysunek 1 przedstawia schemat suszarki fontannowej, w której prowadzono doświadczenia. Wentylator tłoczył powietrze kolejno przez nagrzewnicię elektryczną z regulatorem temperatury oraz stożkowo-cylindryczną komorę suszarki o pojemności ok. $0,015 \text{ m}^3$ wypełnioną materiałem. Komora wykonana częściowo ze szkła organicznego posiadała podziałkę milimetrową umożliwiającą pomiar wysokości warstwy surowca z dokładnością $\pm 5 \text{ mm}$. Średnica części cylindrycznej komory wynosiła $0,19 \text{ m}$, całkowita wysokość $0,62 \text{ m}$. Kąt rozwarcia stożka dolnej części komory wynosił 60° . Dno komory podtrzymującej warstwę surowca stanowiła siatka stalowa o oczkach $2 \times 2 \text{ mm}$. Zasuwa umieszczona po stronie ssącej wentylatora umożliwiała regulację przepływu powietrza przez złożo surowca.



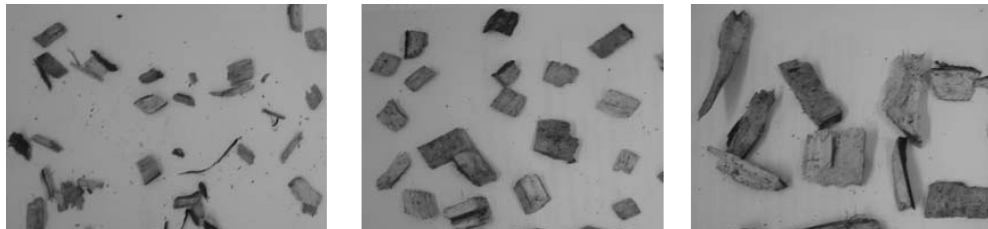
Rys. 1. Schemat stanowiska pomiarowego: 1 – wentylator, 2 – zasuwa regulacyjna, 3 – nagrzewnica z regulatorem temperatury, 4 – termopara, 5 – komora suszenia, 6 – króćiec pomiarowy

Fig. 1. Scheme of the experimental stand: 1 – fan, 2 – control damper, 3 – heater with a temperature controller, 4 – thermoelement, 5 – drying chamber, 6 – measuring element

Do badań użyto świeżych zrębków topoli (*Populus tremula*) o wilgotności 44%. Pomiar gęstości właściwej i usypowej przeprowadzono wg Normy PN 770-04101. Przygotowanie materiału do badań polegało na pobraniu próbki z partii materiału (2000 g) i podzieleniu jej na 4 równe części. W ćwiartce próbki (ok. 500 g) określano wilgotność w suszarce laboratoryjnej oraz udziały masowe poszczególnych frakcji cząstek na sitach.

Po tych czynnościach próbki o masie 500 g wsypywano do suszarki fontannowej i suszono. Suszenie prowadzono w temperaturze 40, 50, 60, 70°C przy wysokości złożą ok. 160mm i prędkości czynnika suszącego $0,3 \text{ m s}^{-1}$. Pomiaru ubytku masy suszonego materiału dokonywano początkowo co 5 minut (pierwsze 3 pomiary) a następnie co 15 minut. Po każdym pomiarze następowalo szybkie przemieszanie warstwy strumieniem powietrza. Komorę suszarki wraz z próbą ważono na wadze WPE 10 z dokładnością $\pm 1 \text{ g}$.

Suszenie zrębków drzewnych...



Rys. 2. Fotografie frakcji zrębów (0-10 mm, 10-30 mm, 30-50 mm)
Fig. 2. Picture of wood chips (0-10 mm, 10-30 mm, 30-50 mm)

Szybkość suszenia obliczano na podstawie ubytków wody w surowcu. Średni objętościowy strumień wilgoci q_v obliczano odnosząc ubytki masy próbki do 1m^3 objętości komory suszenia i do czasu 1 godziny. Temperaturę czynnika suszącego mierzono termoparą Cu Ko z dokładnością $\pm 1^\circ\text{C}$ a jego prędkość anemometrem skrzydełkowym AA 2113 z dokładnością $\pm 0,05 \text{ m}\cdot\text{s}^{-1}$. Wilgotność względna i temperaturę otoczenia mierzono psychrometrem Assmana i termoparami Cu Ko. Czas mierzono zegarem z sekundnikiem. Każdy pomiar powtarzano trzykrotnie.

Porowatość statyczną złoża granul ε_o określano z zależności [Ciborowski 1965]:

$$\varepsilon_o = 1 - \frac{\rho_u}{\rho} \quad (1)$$

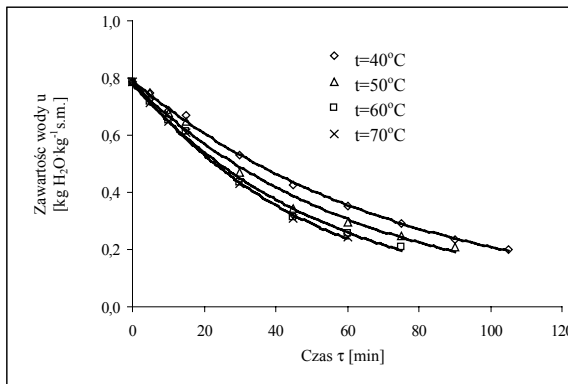
Wyniki badań

W tabeli 1 przedstawiono udziały wagowe częściek świeżych zrębów topoli o wilgotności 44% o średniej gęstości właściwej $\rho=570 \text{ kg}\cdot\text{m}^{-3}$, średniej gęstości usypowej $\rho_u=255 \text{ kg}\cdot\text{m}^{-3}$ i średniej porowatości spoczynkowej $\varepsilon_o=55\%$. Dodatkowo na rys. 2 pokazano fotografie zrębów.

Tabela 1. Frakcje świeżych zrębów
Table 1. Fractions of fresh chips

Frakcje wymiarowe [mm]	do 10	od 10 do 30	od 30 do 50	powyżej 50
Udział wagowy [%]	8,1	54	35	2,9

Wpływ temperatury czynnika suszącego na spadek zawartości wody w złożu zrębów suszonych od zawartości wody $u=0,8 \text{ kg H}_2\text{O}\text{kg}^{-1}$ s.m. do około $u=0,2 \text{ kg H}_2\text{O}\text{kg}^{-1}$ s.m. przy prędkości czynnika suszącego $v=0,3 \text{ m}\cdot\text{s}^{-1}$ i wysokości warstwy $H_0=165 \text{ mm}$ przedstawiono na rysunku 3.



Rys. 3. Spadek zawartości wody u w surowcu w czasie τ przy różnych temperaturach czynnika suszącego
 Fig. 3. Drop of water content u in the material in time τ at different values of drying medium temperature

Jak wynika z przebiegu krzywych suszenia w miarę wzrostu temperatury powietrza czas suszenia zrębów ulegał znacznemu skróceniu. Na przykład dla temperatury 40°C wynosił ok. 110 minut. Przy podwyższeniu temperatury do 70°C uzyskano skrócenie czasu suszenia do ok. 60 minut.

Analiza spadków zawartości wody w czasie suszenia zrębów pozwoliła na określenie formuł opisujących ten proces. Pomijając pierwsze 5 minut procesu pozostałe punkty na krzywych można opisać równaniem wykładniczym w postaci:

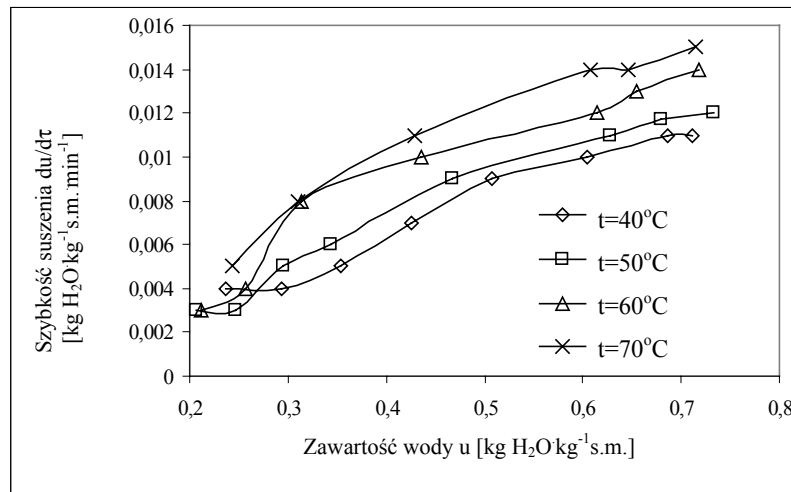
$$u = Ae^{B\tau} \quad (2)$$

W tabeli zamieszczono współczynniki A i B oraz współczynniki determinacji dla równania (2) w zależności od temperatury czynnika suszącego:

Tabela 2. Wartości współczynników równań i determinacji dla poszczególnych temperatur suszenia
 Table 2. The value of coefficients of equations and determination for individual temperatures the drying

Temperatura suszenia	Współczynniki równania		Współczynnik determinacji
t	A	B	R^2
$t=40^{\circ}\text{C}$	0,794	-0,0135	0,998
$t=50^{\circ}\text{C}$	0,778	-0,0155	0,986
$t=60^{\circ}\text{C}$	0,778	-0,0183	0,992
$t=70^{\circ}\text{C}$	0,791	-0,0201	0,997

Na rysunku 4 przedstawiono przebieg szybkości suszenia $du/d\tau$ w zależności od temperatury czynnika suszącego.



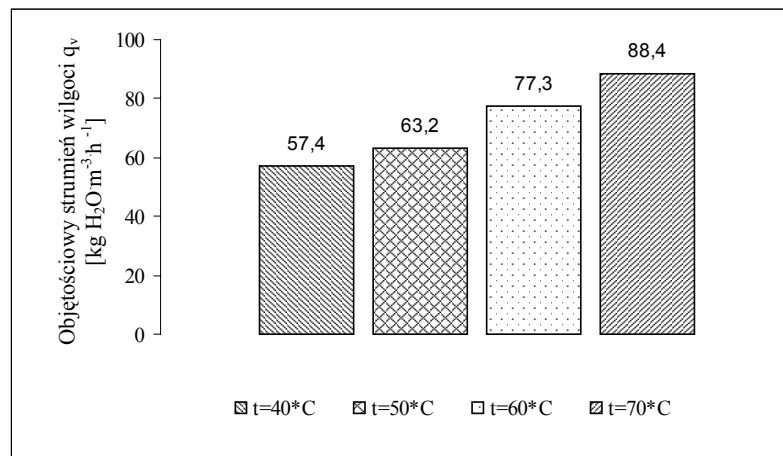
Rys. 4. Przebieg zmian szybkości suszenia $du/d\tau$ w funkcji zawartości wody u dla różnych temperatur suszenia. Wysokość warstwy suszenia $H_0=165$ mm, prędkość powietrza $v=0,3 \text{ m}\cdot\text{s}^{-1}$
Fig. 4. Trajectory of drying rate changes $du/d\tau$ in function of water content u for different drying temperature values. Drying layer height $H_0=165$ mm, air velocity $v=0.3 \text{ m}\cdot\text{s}^{-1}$

Jak wynika z rys. 4 początkowo szybkość suszenia zrębków (pierwsze 5 minut procesu) dla temperatury 40°C wyniosła ok. $0,11 \text{ kgH}_2\text{O kg}^{-1}\text{s.m. min}^{-1}$. Podwyższenie temperatury suszenia do 70°C w analogicznym etapie procesu spowodowało ok. 37% wzrost $du/d\tau$. Różnice w szybkości suszenia dla wspomnianych temperatur utrzymywaly się w przybliżeniu do osiągnięcia przez surowiec zawartości wody $u \approx 0,3 \text{ kgH}_2\text{O kg}^{-1}\text{s.m. min}^{-1}$. Po przekroczeniu tej wartości u różnice w $du/d\tau$ wyraźnie maleją.

Średnio biorąc wzrost temperatury czynnika suszącego z 40°C do 70°C przy zachowaniu stałości pozostałych parametrów procesu spowodował wzrost średniej szybkości suszenia o ok. 35%.

Jednym z ważniejszych czynników charakteryzujących pracę suszarki jest wielkość objętościowego strumienia wilgoci q_v . Średnie wartości q_v dla różnych temperatur suszenia przedstawiono na rysunku 5.

Jak wynika z histogramu, przy temperaturze czynnika suszącego równej 40°C wartość objętościowego strumienia wilgoci wynosiła ok. $57 \text{ kg H}_2\text{O m}^{-3}\text{h}^{-1}$. Podwyższenie temperatury czynnika do 70°C skutkowało wzrostem q_v do ok. $88 \text{ kg H}_2\text{O m}^{-3}\text{h}^{-1}$.



Rys. 5. Zależność średniego objętościowego strumienia wilgoci q_v od temperatury czynnika suszącego. Wysokość warstwy $H_o=165$ mm, prędkość czynnika suszącego $v=0,3 \text{ m s}^{-1}$

Fig. 5. Relationship between average volumetric moisture stream q_v and drying medium temperature. Drying layer height $H_o=165$ mm, drying medium velocity $v=0.3 \text{ m s}^{-1}$

Wnioski

1. Pomijając pierwsze 5 min procesu spadek zawartości wody w zrąbkach można opisać równaniem wykładniczym w postaci:

$$u = Ae^{B\tau}$$

Przy współczynnikach determinacji R^2 wynoszących od 0,992 do 0,998.

2. Wzrost temperatury czynnika suszącego z 40°C do 70°C przy zachowaniu stałości pozostałych parametrów procesu spowodował wzrost średniej szybkości suszenia $du/d\tau$ o ok. 35% oraz wzrost średniego objętościowego strumienia wilgoci q_v o ok. 50%.

Bibliografia

- Ciborowski J. 1965. Podstawy inżynierii chemicznej. WNT Warszawa.
Pringle R., Pan J.M. 1996. Deep bin drying experiment. Scottish Agricultural College. Aberdeen. UK. s. 21-27.
Rybak W. 2006. Spalanie i współspalanie biopaliw stałych. Oficyna Wydawnicza Politechniki Wrocławskiej. ISBN 83-7085-938-0.

DRYING OF WOOD CHIPS IN A FOUNTAIN DRIER WITH CYCLIC BED MIXING

Abstract. The research focused on the impact of air temperature on wood chips drying process. The chips were subject to drying in a laboratory fountain drier. The experiment was carried out at the temperature of 40, 50, 60, and 70°C, at approximate constant bed height 160 mm and constant drying medium velocity 0.3 m s^{-1} . The experiment allowed to determine drying rate and the value of moisture stream from drying chamber volume unit. The results are shown in form of diagrams and correlation equations.

Key word: wood chips, drying, spouted dryer

Adres do korespondencji:

Stanisław Peron stanislaw.peron@up.wroc.pl
Uniwersytet Przyrodniczy we Wrocławiu
Instytut Inżynierii Rolniczej
ul Chełmińskiego 37/41
51-630 Wrocław